

Е. Е. Ковалев, В. Н. Брыксин, Ю. А. Виноградов, В. Е. Дудкин,
С. Б. Козлова, А. М. Маренный, В. В. Маркелов, Н. А. Нефедов,
Ю. В. Потапов, В. И. Редько, А. И. Хованская

ИЗМЕРЕНИЕ СПЕКТРОВ ЛИНЕЙНЫХ ПОТЕРЬ ЭНЕРГИИ КОСМИЧЕСКОГО ИЗЛУЧЕНИЯ НА ИСЗ «КОСМОС-782»

1. Спектрометр заряженных частиц. В эксперименте на ИСЗ «Космос-782» проводились измерения линейных потерь энергии (ЛПЭ) с помощью двух спектрометров, один из которых был установлен внутри, а другой — на наружной поверхности спутника. В качестве датчика в спектрометрах использовался телескоп, состоящий из кремниевоего полупроводникового детектора с толщиной чувствительной области $500 \text{ мкм} \pm 3\%$ и площадью 1 см^2 и сцинтилляционного счетчика с кристаллом CsI(Tl) толщиной 10 мм и диаметром 10 мм . Применение охранного детектора, схем совпадений и антисовпадений исключало регистрацию частиц, прошедших под большим углом к оси телескопа. Электронная схема спектрометра производила амплитудный анализ импульсов, поступающих с полупроводникового детектора, регистрацию импульсов в соответствующих каналах и передачу информации в бортовое запоминающее устройство спутника и на Землю по телеметрической системе. При этом логическое устройство анализатора обеспечивало регистрацию только тех частиц, направления движения которых были близки к нормальному падению на поверхность детектора, длина пробега превышала толщину чувствительной области полупроводникового детектора и энерговыделение в сцинтилляторе было больше выбранного уровня дискриминации.

Измеряемая амплитуда импульса в кремниевом детекторе пропорциональна ЛПЭ заряженной частицы, прошедшей через телескоп. Коэффициент пропорциональности определялся при градуировке спектрометра на альфа-частицах (Pu^{239}) и на ускорителе протонов.

При обработке телеметрической информации для каждой зарегистрированной заряженной частицы была определена величина энерговыделения в кремниевом детекторе и рассчитано значение линейных потерь энергии в биологической ткани.

По полученным данным построены дифференциальные $\left(\frac{dN}{dL}(L)\right)$ и интегральные

$(N(>L))$ спектры ЛПЭ заряженных частиц. С учетом геометрического фактора телескопа определен дозовый спектр излучения $D(L)$, рассчитано значение эквивалентной дозы и затем получена средняя величина коэффициента качества излучения.

2. Ядерные эмульсии. При измерении спектров ЛПЭ с помощью ядерных эмульсий использовалось два метода. В первом случае измерялся интегральный спектр ЛПЭ по методу, описанному в [1]. Проявление мелкозернистых эмульсий типа ПР-2 проводилось по двухстадийному методу (метод двухпотенциального проявления).

Известно, что для проявления микрокристаллов экспонированного слоя необходимо, чтобы окислительно-восстановительный потенциал (ОВП) проявителя был электроотрицательнее некоторой величины, называемой пороговым потенциалом проявления. Поэтому для того чтобы избежать неравномерности проявления слоя по глубине в начале проводится пропитка эмульсий проявителем при величине ОВП более электроположительной, чем пороговый потенциал проявления (первая стадия), а затем при более электроотрицательном значении ОВП (вторая стадия). При этом в зависимости от установленной величины ОВП на этой стадии в эмульсии будут проявляться следы заряженных частиц с ЛПЭ выше некоторой определенной величины. Для установления связи между величиной ОВП и пороговым значением ЛПЭ проводилась калибровка ядерных эмульсий. С этой целью контрольные слои эмульсии облучались протонами различных энергий (до 660 МэВ), нейтронами (в эмульсии регистрировался спектр протонов отдачи), альфа-частицами от источника Pu^{239} , многозарядными ионами P^{31} с энергией 200 МэВ . Эта давала возможность получить широкий набор частиц с различными ЛПЭ.

Во втором случае для получения спектров ЛПЭ использовались «традиционные» методы измерений потоков и спектров частиц в ядерных фотоэмульсиях. Использовались слои ядерной эмульсии типа БР-2 с толщиной каждого слоя 600 мкм .

Отбор следов частиц в эмульсии производится визуально, причем отбирались треки с углом погружения менее 10° . Степень ионизации среды частицей принято выражать через отношение числа зерен на единице длины следа (g) к числу зерен на единице релятивистского однозарядного трека, имеющего энергию в области минимальных потерь (g_{\min}). Такие следы образуют электроны, появляющиеся в результате π - μ - e -распада, которые и были отобраны при сканировании этих же фотоэмульсий.

Все однозарядные треки считались протонами. Как показывает анализ литературных данных, примесь других частиц в этой области ионизации незначительна. Треки, образованные многозарядными ионами, исключались визуальным способом.

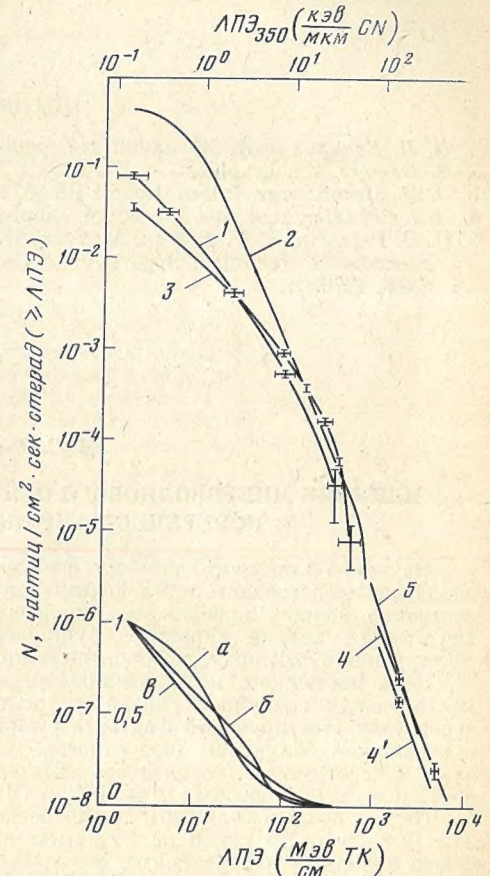
Для треков с отношением $g/g_{\min} \geq 6,0$ (черные треки) энергия протонов определялась с помощью соотношения пробег — энергия [2]. В области меньшей относительной ионизации (серые треки, энергия протонов $50 \text{ МэВ} \leq E_p \leq 400 \text{ МэВ}$) использовалась зависимость $g^* = g/g_{\min} = f(T/M)$ [3], где T и M — кинетическая энергия и масса протона.

3. Диэлектрические трековые детекторы. Экспериментальные точки на спектре ЛПЭ в диапазоне от $\sim 10^2$ до $\sim 10^3 \text{ кэВ/мкм}$ получены с помощью диэлектрических трековых детекторов. С этой целью в измерительные блоки были помещены «сэндвичи», состоящие из следующих друг за другом детекторов с различными порогами регистрации. Знание пороговых значений позволяет получить интегральный ЛПЭ-спектр путем простого подсчета количества треков на отдельных детекторах. На график зависимости N (ЛПЭ $>$ ЛПЭ_{порог}) от ЛПЭ наносятся скорректированные с учетом угловой эффективности регистрации и эффективности просмотра величины флюенса.

Для измерений ЛПЭ-спектра использовались детекторы двух типов: нитроцеллюлозные и лавсановые, которые находились в двух блоках. Блок № 1 размещался на наружной поверхности спускаемого аппарата спутника. При выводе спутника на орбиту и при спуске контейнер был герметически закрыт крышкой, что предохраняло детекторы от перегрева. Температура поверхности блока не превышала 50°C . Блок был защищен от воздействия УФ-излучения. Блок № 2 находился внутри спутника вблизи оболочки.

Травление нитроцеллюлозных и лавсановых детекторов осуществлялось в течение 10 и 24 час в 25%-ном растворе NaOH , насыщенном продуктами травления, при 40 и 50°C . Одновременно с детекторами из экспонированных блоков протравливались образцы тех же материалов, облученные многозарядными ионами на циклотроне Объединенного института ядерных исследований (Дубна). По результатам измерений треков в этих образцах были получены значения порогов регистрации детекторов: ЛПЭ₃₅₀ = 180 и 450 кэВ/мкм для нитроцеллюлозных (CN) и лавсановых детекторов соответственно. Угловая эффективность регистрации всех частиц была принята 0,9 и 0,8 для нитроцеллюлозных и лавсановых детекторов, а эффективность просмотра — 0,9 для всех детекторов.

4. Результаты измерений. Результаты проведенных измерений представлены на рисунке. Спектры ЛПЭ по эмульсионным данным получались пересчетом энергетических спектров в спектры ЛПЭ. На этом же рисунке приведены данные измерений на «Скайлабе» [4]. Анализ приведенных данных показывает, что форма интегрального спектра, полученная с помощью телескопа счетчиков (кривая 1) внутри спутника, близка к форме спектра, полученного на «Скайлабе» (кривая 2), хотя абсолютные значения плотности потока частиц на ИСЗ «Космос-782» ниже. Это можно объяснить более низкой его орбитой. Средняя суточная доза на нем так же ниже, чем на «Скайлабе» — 22 и 41 мрад/сутки соответственно. Формы спектров, полученных с помощью ядерных фотоэмульсий (кривая 3) и телескопа, несколько отличаются друг от друга. Это можно объяснить различной толщиной защиты, за которой проводились измерения. Следует также иметь в виду, что отличие от телескопа счетчиков для ядерных фотоэмульсий и диэлектрических трековых детекторов приведены данные по числу частиц, пересекающих единицу поверхности со всех направлений. Соответствующая поправка на число частиц, падающих нормально к поверхности, может быть легко сделана, так как угловое распределение излучений близко к изотропному (средний косинус угла падения составляет $0,64 \pm 0,08$). Данные телескопа по виткам позволили оценить вклад протонов внутреннего радиационного пояса, который при усреднении показаний ряда витков составил 36%.



На этом же рисунке представлен сравнительный ход кривых поглощенной дозы (а-телескоп, б-эмulsion, в-Скайлэб).

Представляет интерес сравнение значений факторов качества QF , полученных в этих экспериментах, которые составили: «Скайлэб» — 1,54, телескоп — 1,45 и ядерные фотоэмulsion — 1,47. Следует отметить малое различие в величинах коэффициентов. На рисунке также представлены интегральные спектры тяжелых ионов ($Z \geq 5$), полученные с помощью трековых детекторов на ИСЗ «Космос-782» (кривая 4 — снаружи спутника, кривая 4' — внутри). Здесь же для сравнения представлен спектр тяжелых ионов (кривая 5), полученный на «Скайлэбе» и приведенный в работе [5]. Следует отметить различия в измеренных потоках, которые также можно объяснить как разной высотой полета, так и различной толщиной защиты.

Дата поступления
13 февраля 1978 г.

ЛИТЕРАТУРА

1. Н. П. Кочеров и др. Ж. научн. и прикл. фотогр. и кинематогр., 3, 186, 1969.
2. P. Demers. Ionographie. Les Emulsions Nucleares, Princ. et Appl., Montreal, 1958.
3. R. M. Sternheimer. Intern. Report RS-38, Brookhaven Lab., 1953.
4. H. J. Schaefer. Rad. and Environm. Biophys., 12, 127, 1975.
5. D. D. Peterson, E. V. Benton, M. Tran. HZE-Particle Dosimetry. Experiment K-103 for Kosmos-782, Technical Report № 42. Department of Physics University of San Francisco, 1976.

УДК 539.104

В. С. Тихончук

ВЛИЯНИЕ МИКРОВОЛНОВОГО ОБЛУЧЕНИЯ НА УСТОЙЧИВОСТЬ КРЫС К ПОПЕРЕЧНО-НАПРАВЛЕННЫМ ПЕРЕГРУЗКАМ

Изучение взаимного влияния факторов космического полета с помощью тест-нагрузки представляет определенный интерес [1–3]. Это дает возможность количественно оценить модификацию биологических эффектов. Одновременно такой подход требует знания характера функциональной зависимости между параметрами тестирующего фактора и возникающего при этом эффекта [4].

Цель настоящего исследования — установить характер функциональной зависимости между величиной гибели и временем воздействия поперечно-направленной перегрузки (тестирующий фактор), а также изучить влияние предварительного микроволнового облучения (вероятность смертельного исхода 0,1%) на устойчивость крыс к перегрузкам (вероятность смертельного исхода 50,0%) по критериям смертности и частоте сердечных сокращений (ЧСС).

Опыты были поставлены на 240 беспородных крысах-самках со средней массой 250 ± 19 г, всего 10 групп по 24 крысы в каждой. 1–6-я группы подвергались действию поперечно-направленных перегрузок (грудь — спина), 40,0 ед на центрифуге с длиной плеча 4,25 м (время подъема и спуска 30 сек) в течение 2,52; 3,0; 3,5; 4,0; 4,5; 5,0 мин (площадка) соответственно. 7–10-я группы животных предварительно облучались микроволнами с ПМ 800, 300, 100, 10 мвт/см² в течение 0,52; 2,18; 7,77; 240,5 мин соответственно. Через 1 час 7–10-я группы животных подвергались воздействию перегрузки (грудь — спина) 40 ед в течение 4,25 мин (площадка). Изучалась гибель животных в ЧСС.

Результаты и их обсуждение. Величина гибели крыс от времени воздействия перегрузки может быть интерполирована ($2,52 \leq x \leq 5,0$) уравнением показательной функции вида: $y = 0,278x^{3,5923}$, где y — гибель, %; x — время воздействия, мин (рис. 1, кривая 1). Высокое значение критерия пригодности (F), равное 3,4 [5], не противоречит экстраполяции найденной зависимости до эффекта летальности, равного 0,1% (рис. 1, пунктирная часть кривой 1). Характер функциональной зависимости предполагает ограниченное число функционально-ответственных систем в формировании конечного эффекта — гибели. В первом приближении таковой может быть сердечно-сосудистая система.

Кривая 2 рис. 1 отражает динамику ЧСС в период воздействия перегрузки. Она включает в себя информацию о ЧСС как выживших, так и погибших животных (срок наблюдения после прекращения перегрузки до суток). Тенденция брадикардии при увеличении времени воздействия перегрузки интерполируется уравнением линейной функции: $y = 524,1 - 83,03x$, где y — ЧСС, мин; x — время воздействия перегрузки, мин.

Сопоставление кривых 1 и 2 рис. 1 свидетельствует о тесной связи между величиной брадикардии и вероятностью гибели. Патогенетическая значимость такой

зависимости, очевидно, должна проявляться и при других видах перегрузок в сопоставимых параметрах.

С целью проверки такого предположения были использованы ранее полученные на 142 крысах данные при продольном (голова — таз) ускорении 5,0 ед (подъем и спуск 20 сек). Кривая 1 на рис. 2 отражает динамику ЧСС при времени воздействия продольной перегрузки до 4 мин. Не имея экспериментальных данных о ЧСС свыше 4 мин воздействия, мы допустили три ее развития: 1а, 1б, 1в (рис. 2). Пере-

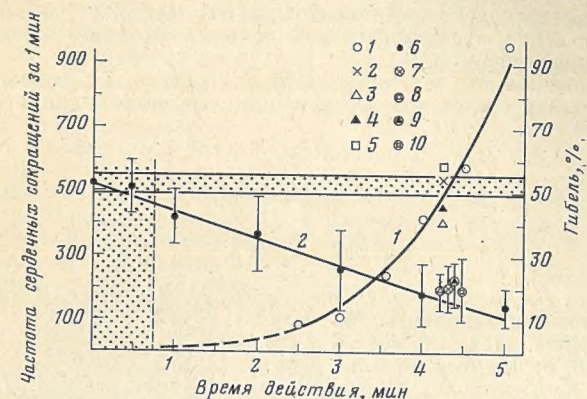


Рис. 1. Гибель (1–5) и частота сердечных сокращений (6–10) у крыс как функция времени воздействия только поперечно-направленной перегрузки (1, 6) и сочетанного СВЧ и перегрузки действия (2–5, 7–10) 2, 7 — 800; 3, 8 — 300; 4, 9 — 100; 5, 10 — 10 мвт/см²

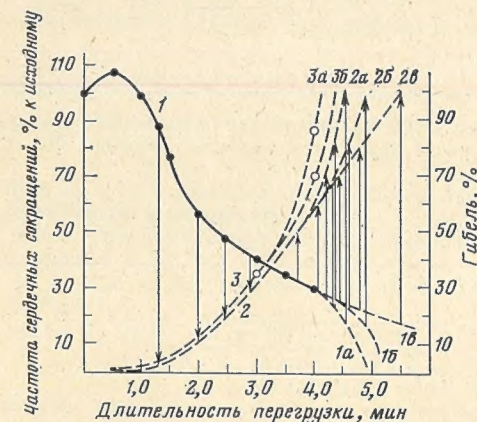


Рис. 2. Частота сердечных сокращений (1), гибель крыс ожидаемая (2) и «исправленная» (3) как функция времени воздействия продольной перегрузки

ечение прямых, опущенных с кривой 1 с заданными уровнями гибели, будет не что иное, как прогнозируемая зависимость между величиной эффекта гибели и степенью брадикардии для продольных (кривая 2, рис. 2) и поперечных перегрузок (рис. 1). С учетом экспериментальных данных при продольных перегрузках (кружки на кривой 3, рис. 2) зависимость между величиной брадикардии и гибелью независимо от вида перегрузок, при сравнимых параметрах воздействия может быть выражена следующим уравнением гиперболы:

$$y = 2384,6/x - 25,78,$$

где y — гибель, %, x — величина брадикардии, %. Полученная зависимость и является функциональным эталоном тестирующего фактора (перегрузки) для изучения влияния предварительного микроволнового облучения на устойчивость крыс к поперечно-направленным перегрузкам.

В 7–9-й группах средняя величина градиента ректальной температуры после микроволнового облучения составила $\sim 2^\circ\text{C}$, в 10-й группе ректальная температура не увеличивалась. ЧСС для соответствующих групп была равна 540 ± 30 ; 510 ± 20 ;